

Математическое моделирование
растекания жидкости по
поверхности мыльного пузыря.

Кузьмин Р.Н., Савенкова Н.П.,
Складчиков С.А.

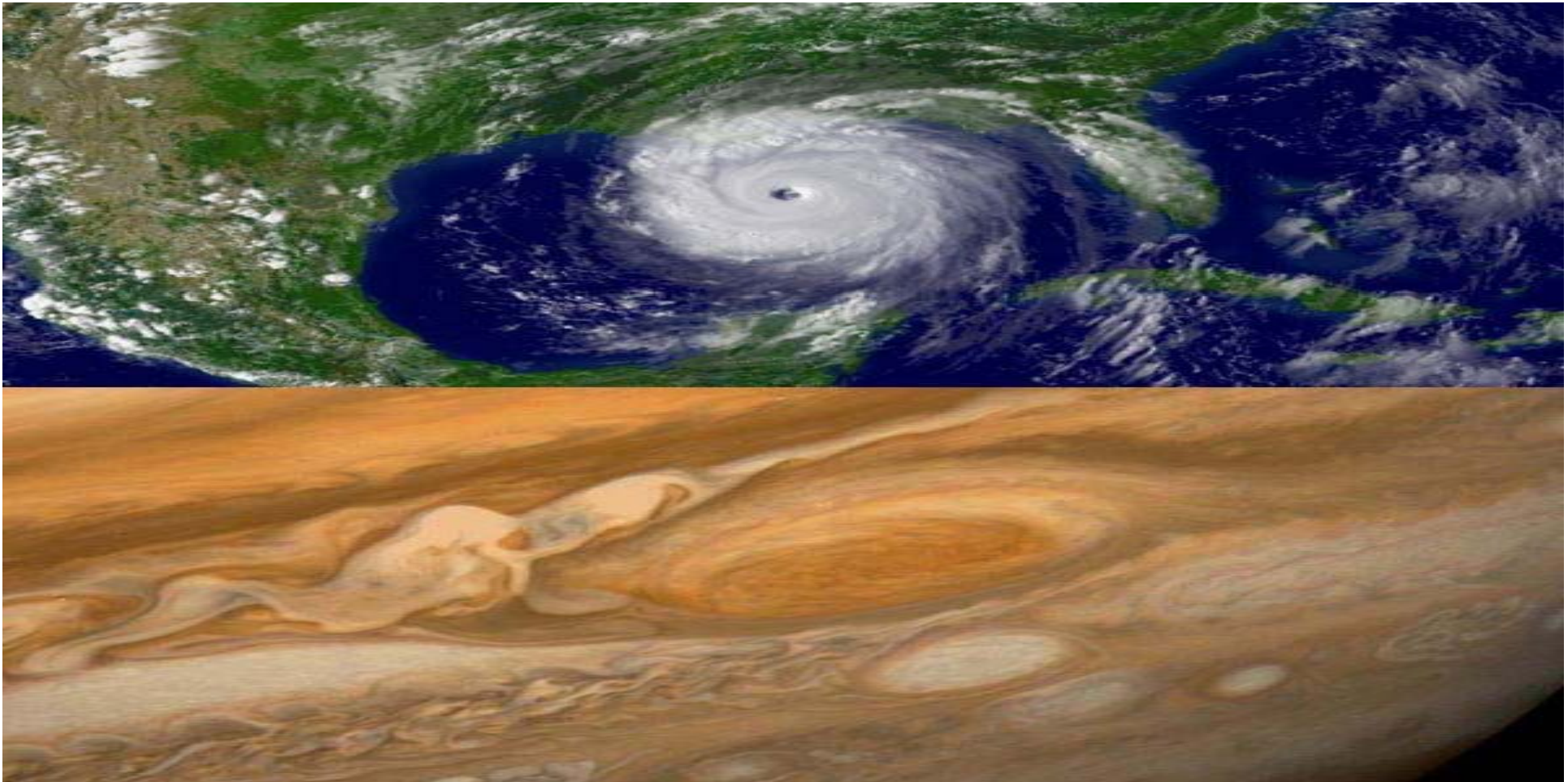


Рис. 1. Примеры проявления двумерной турбулентности в планетарном масштабе. *Вверху*: снимок урагана Катрина - одного из наиболее разрушительных ураганов в истории США, сделанный со спутника 29 августа 2005 года. *Внизу*: снимок [Большого красного пятна](#) - атмосферного образования на Юпитере, наблюдаемого уже почти 350 лет, - сделанный [Вояджером-1](#) в 1979 году; см. также [видеоролик](#) атмосферных вихрей в районе Большого красного пятна, составленный из 66 снимков (по одному в юпитерианский день). Изображения с сайтов web.mit.edu и ru.wikipedia.org

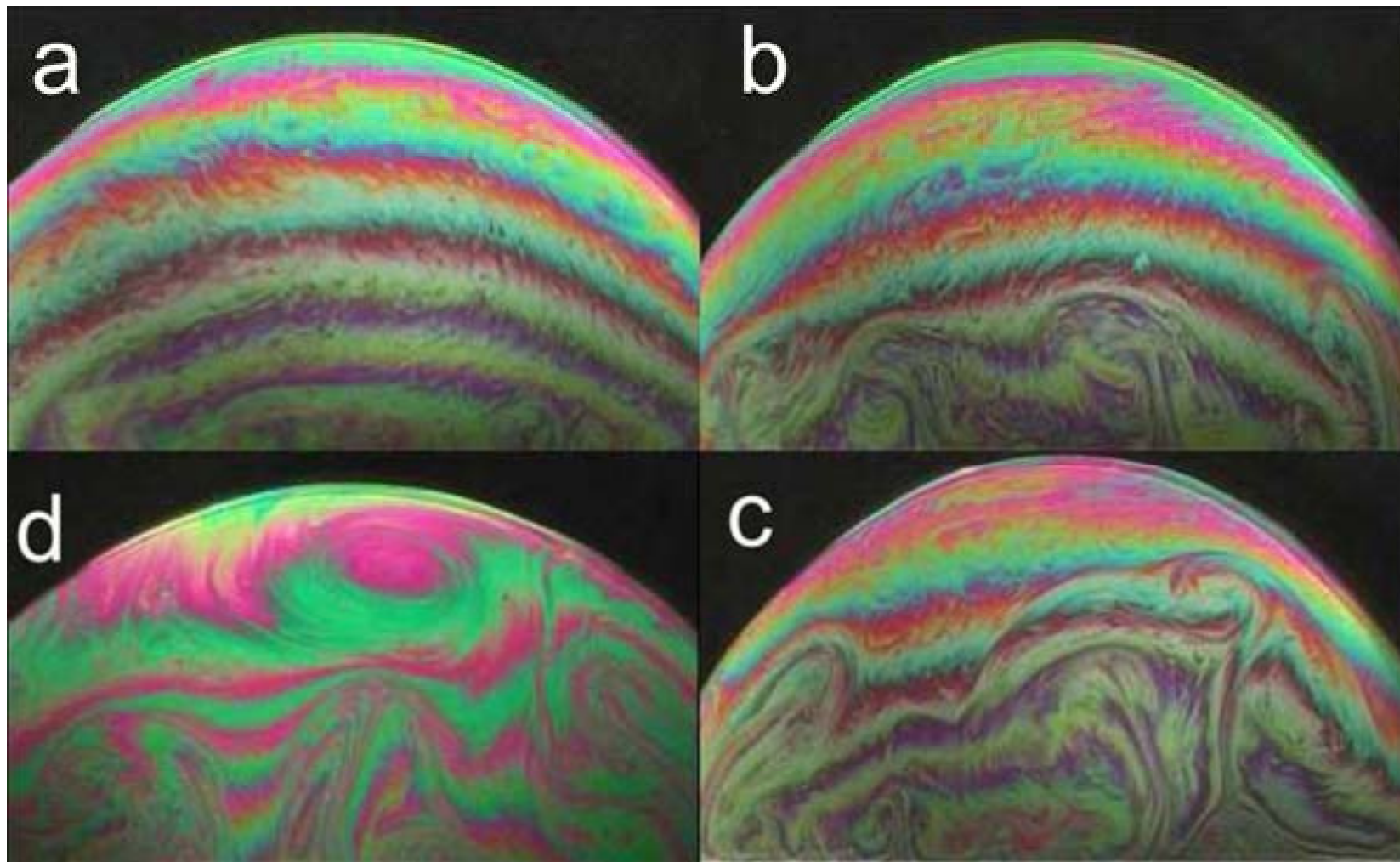


Рис. 2. Изображения пузырей при различных температурных градиентах. Разность температур ΔT увеличивается от рис. а к с и равно 9, 17 и 31°C соответственно. На рис. d: возникновение вихря при $\Delta T = 45^\circ\text{C}$. Рис. из обсуждаемой статьи в *Phys. Rev. Lett.*

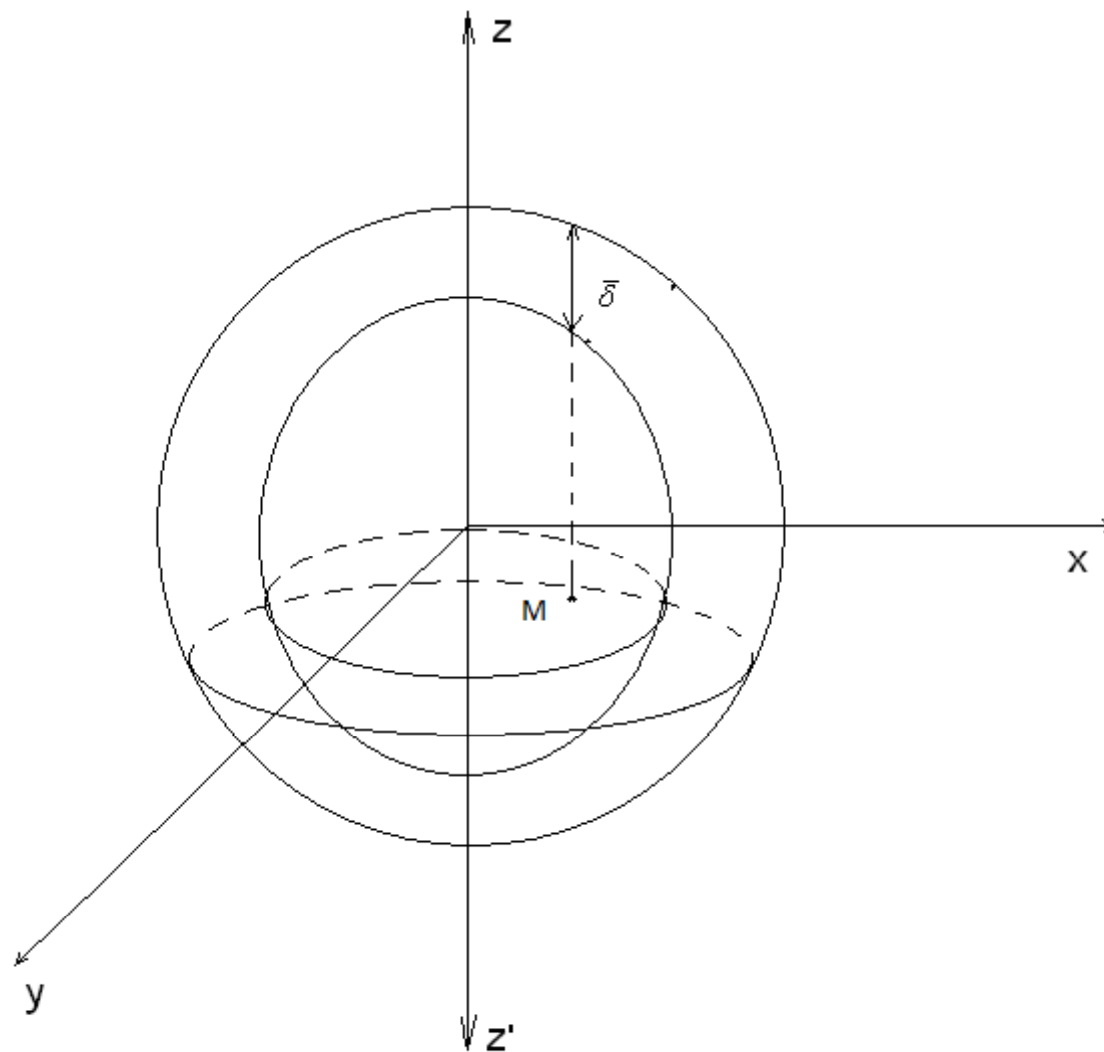


Рис.3 Схематическое изображение мыльного пузыря.

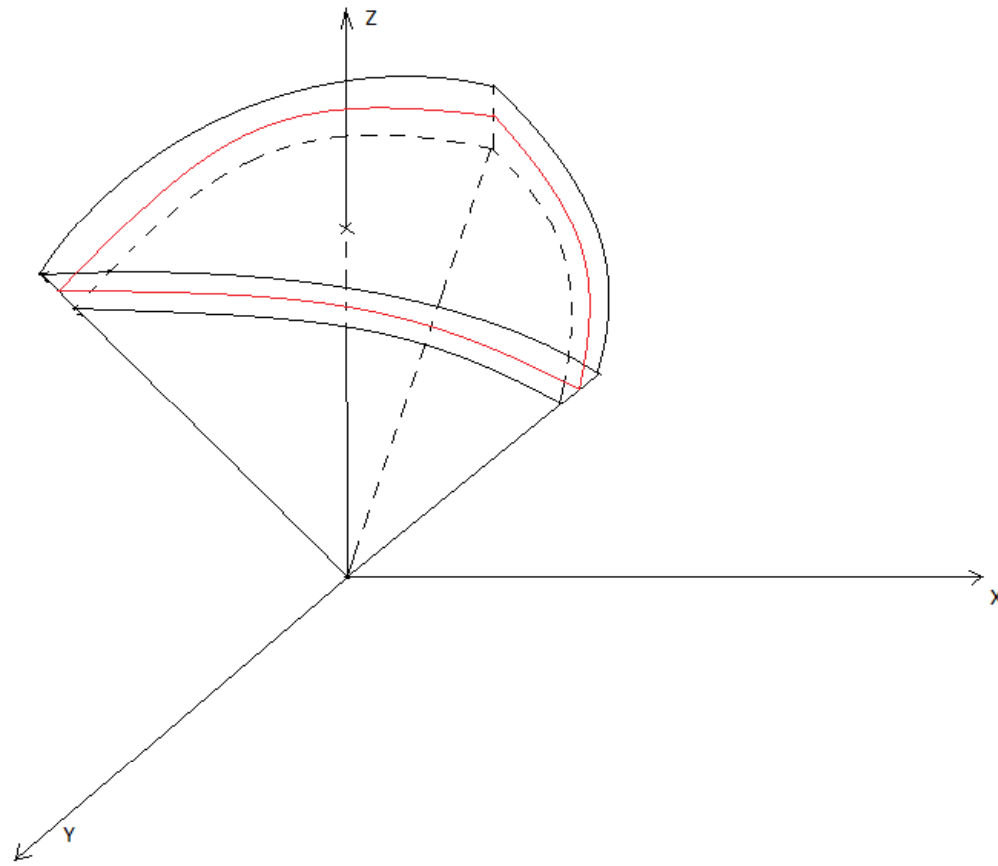


Рис.4. Средний слой в расчетной области.

$$\frac{\partial \overline{\rho\delta}}{\partial t} + \frac{\partial \overline{\rho u\delta}}{\partial x} + \frac{\partial \overline{\rho v\delta}}{\partial y} = 0$$

$$\begin{aligned} \frac{\partial \overline{\rho u\delta}}{\partial t} + \frac{\partial \overline{\rho u^2\delta}}{\partial x} + \frac{\partial \overline{\rho uv\delta}}{\partial y} &= \frac{\partial}{\partial x} \left(\frac{1}{2} (\overline{\delta} - \delta(t_0)) (\overline{\rho g} - f_z) - p(t_0) \right) + \\ &+ \frac{\partial}{\partial x} \left(\rho \delta \mu \frac{\partial \overline{u}}{\partial x} \right) + \frac{\partial}{\partial y} \left(\rho \delta \mu \frac{\partial \overline{u}}{\partial y} \right) - g \overline{\rho\delta} \left(\frac{-x}{\sqrt{R^2 - x^2 - y^2}} \right) + \overline{F}_{\text{пов.нат.}} \dots \dots \dots (1) \end{aligned}$$

$$\begin{aligned} \frac{\partial \overline{\rho v\delta}}{\partial t} + \frac{\partial \overline{\rho uv\delta}}{\partial x} + \frac{\partial \overline{\rho v^2\delta}}{\partial y} &= \frac{\partial}{\partial y} \left(\frac{1}{2} (\overline{\delta} - \delta(t_0)) (\overline{\rho g} - f_z) - p(t_0) \right) + \\ &+ \frac{\partial}{\partial x} \left(\rho \delta \mu \frac{\partial \overline{v}}{\partial x} \right) + \frac{\partial}{\partial y} \left(\rho \delta \mu \frac{\partial \overline{v}}{\partial y} \right) - g \overline{\rho\delta} \left(\frac{-y}{\sqrt{R^2 - x^2 - y^2}} \right) + \overline{F}_{\text{пов.нат.}} \end{aligned}$$

$$\frac{\partial \overline{\rho w\delta}}{\partial t} + \frac{\partial \overline{\rho uw\delta}}{\partial x} + \frac{\partial \overline{\rho vw\delta}}{\partial y} = \frac{\partial}{\partial x} \left(\rho \delta \mu \frac{\partial \overline{w}}{\partial x} \right) + \frac{\partial}{\partial y} \left(\rho \delta \mu \frac{\partial \overline{w}}{\partial y} \right) + \overline{F}_{\text{пов.нат.}}$$

Для нижней части сферы ось Z' направлена вниз.

$$\frac{\partial \overline{\rho\delta}}{\partial t} + \frac{\partial \overline{\rho u\delta}}{\partial x} + \frac{\partial \overline{\rho v\delta}}{\partial y} = 0$$

$$\frac{\partial \overline{\rho u\delta}}{\partial t} + \frac{\partial \overline{\rho u^2\delta}}{\partial x} + \frac{\partial \overline{\rho uv\delta}}{\partial y} = \frac{\partial}{\partial x} \left(\frac{1}{2} (\overline{\delta} - \delta(t_0)) (-\overline{\rho g}) - p(t_0) \right) +$$

$$+ \frac{\partial}{\partial x} \left(\rho \delta \mu \frac{\partial \overline{u}}{\partial x} \right) + \frac{\partial}{\partial y} \left(\rho \delta \mu \frac{\partial \overline{u}}{\partial y} \right) + g \overline{\rho\delta} \left(\frac{-x}{\sqrt{R^2 - x^2 - y^2}} \right) + \overline{F}_{пов.нат.} \dots \dots \dots (2)$$

$$\frac{\partial \overline{\rho v\delta}}{\partial t} + \frac{\partial \overline{\rho uv\delta}}{\partial x} + \frac{\partial \overline{\rho v^2\delta}}{\partial y} = \frac{\partial}{\partial y} \left(\frac{1}{2} (\overline{\delta} - \delta(t_0)) (-\overline{\rho g}) - p(t_0) \right) +$$

$$+ \frac{\partial}{\partial x} \left(\rho \delta \mu \frac{\partial \overline{v}}{\partial x} \right) + \frac{\partial}{\partial y} \left(\rho \delta \mu \frac{\partial \overline{v}}{\partial y} \right) + g \overline{\rho\delta} \left(\frac{-y}{\sqrt{R^2 - x^2 - y^2}} \right) + \overline{F}_{пов.нат.}$$

$$\frac{\partial \overline{\rho w\delta}}{\partial t} + \frac{\partial \overline{\rho uw\delta}}{\partial x} + \frac{\partial \overline{\rho vw\delta}}{\partial y} = \frac{\partial}{\partial x} \left(\rho \delta \mu \frac{\partial \overline{w}}{\partial x} \right) + \frac{\partial}{\partial y} \left(\rho \delta \mu \frac{\partial \overline{w}}{\partial y} \right) + \overline{F}_{пов.нат.}$$

- $\bar{u}, \bar{v}, \bar{w}$ - осредненные скорости на сфере по длине, ширине и высоте
- ρ - плотность среды
- g - ускорение свободного падения
- $\bar{\delta}$ - толщина оболочки
- R - радиус сферы
- \bar{P} - плотность давления
- μ - турбулентная вязкость

В предположении осевой симметрии получим упрощенную одномерную систему для расчета движения жидкости по поверхности мыльного пузыря. Формулу для расчета силы поверхностного натяжения возьмем из теории гравитационных волн на мелкой воде.

$$\begin{aligned} \frac{\partial \bar{\rho} \bar{\delta}}{\partial t} + \frac{\partial \bar{\rho} u \bar{\delta}}{\partial r} &= 0 \\ \frac{\partial \bar{\rho} u \bar{\delta}}{\partial t} + \frac{\partial \bar{\rho} \bar{u}^2 \bar{\delta}}{\partial r} &= \frac{\partial}{\partial r} \left(\frac{1}{2} (\bar{\delta} - \delta(t_0)) (\pm \bar{\rho} g) - p(t_0) \right) + \dots \dots \dots (3) \\ + \frac{\partial}{\partial r} \left(\rho \delta \mu \frac{\partial \bar{u}}{\partial r} \right) \mp g \bar{\rho} \bar{\delta} \left(\frac{-r}{\sqrt{R^2 - r^2}} \right) &\pm \frac{1}{2} \delta \sqrt{\frac{\delta}{g}} \gamma \frac{\partial^3 u}{\partial x^3} \end{aligned}$$

Заметим, что силу поверхностного натяжения мыльного пузыря можно описать и классическим образом.

$$\begin{aligned} \frac{\partial \bar{\rho} \bar{\delta}}{\partial t} + \frac{\partial \bar{\rho} u \bar{\delta}}{\partial r} &= 0 \\ \frac{\partial \bar{\rho} u \bar{\delta}}{\partial t} + \frac{\partial \bar{\rho} \bar{u}^2 \bar{\delta}}{\partial r} &= \frac{\partial}{\partial r} \left(\frac{1}{2} (\bar{\delta} - \delta(t_0)) (\pm \bar{\rho} g) - p(t_0) \right) + \dots \dots \dots (4) \\ + \frac{\partial}{\partial r} \left(\rho \delta \mu \frac{\partial \bar{u}}{\partial r} \right) \mp g \bar{\rho} \bar{\delta} \left(\frac{-r}{\sqrt{R^2 - r^2}} \right) &\pm \frac{\gamma \delta \rho}{2(R + \delta)} \end{aligned}$$

начальные условия :

$$u_0 = 0, v_0 = 0, w_0 = 0, \rho = \text{const}, \delta - \text{задано}, P = P_{\text{атмосферы}}, t = 0, \gamma = 35 \text{ мг / см.}$$

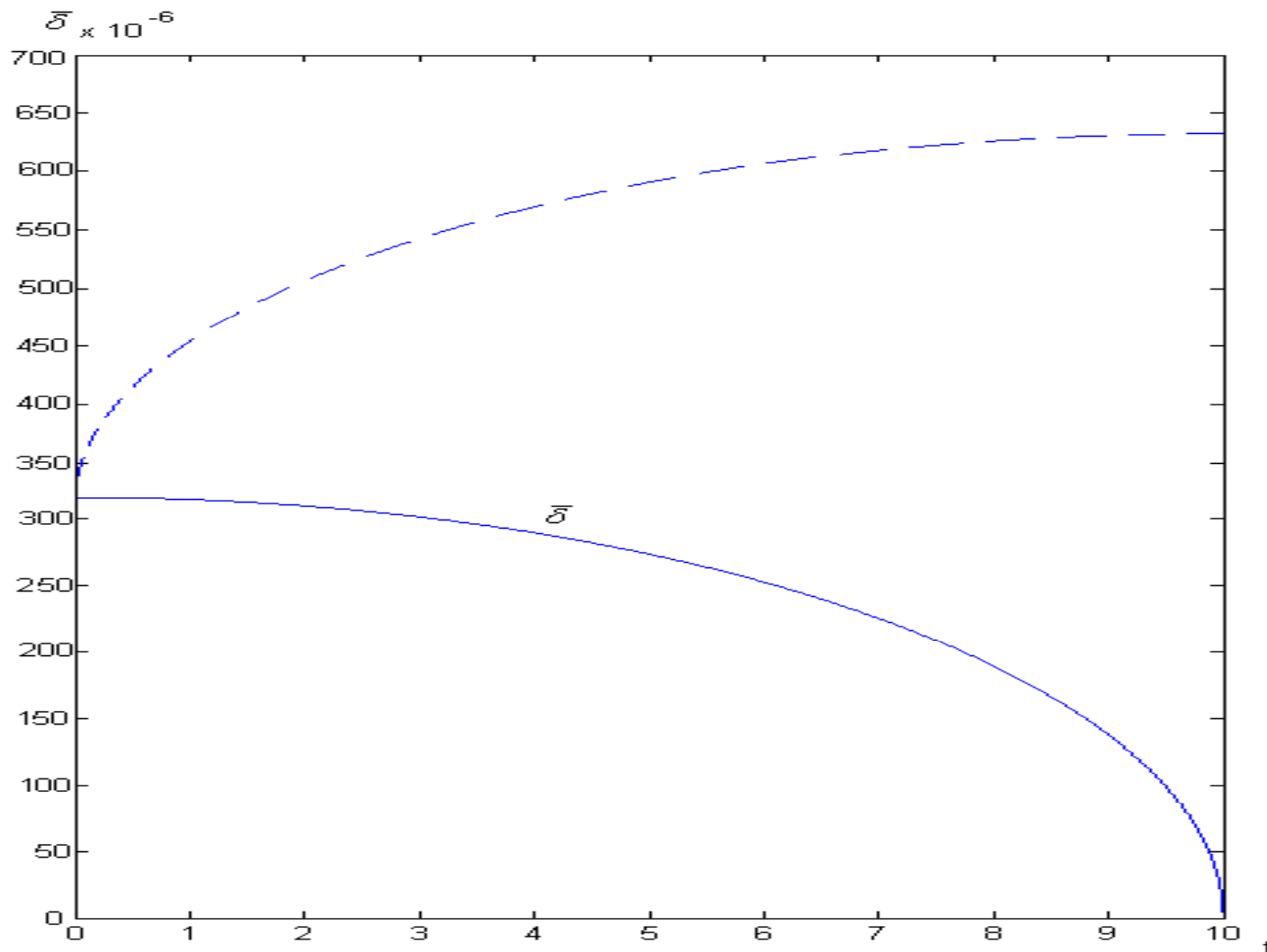
условие свободной границы :

$$\frac{\partial u}{\partial n} = 0$$

$$\vec{n} = \vec{r}$$

для окружности :

$$R = \sqrt{x^2 + y^2}$$



При
 $\bar{\delta} = 1 \times 10^{-6}$
 метра мыльный
 пузырь лопнет.

Рис.2

График изменения толщины оболочки мыльного пузыря в зависимости от времени для верхней части показан сплошной линией, для нижней части- пунктирной линией.

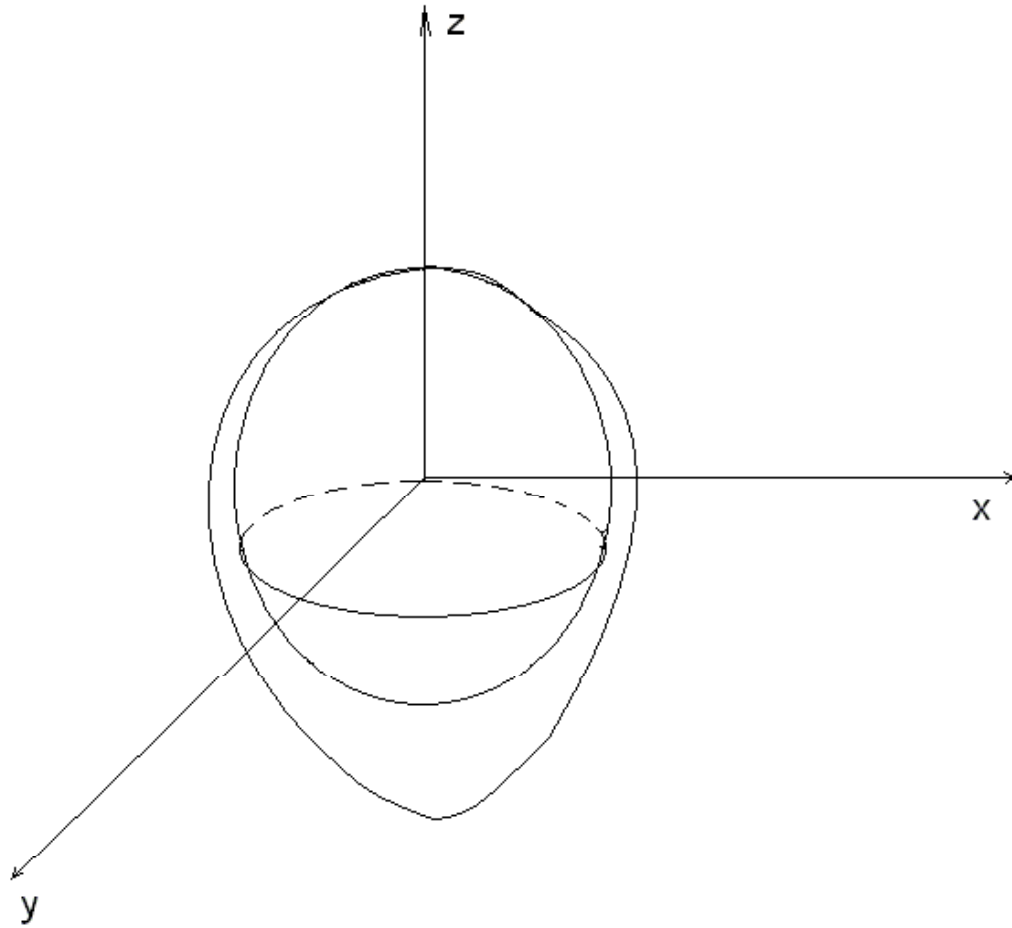


Рис. 5
Мыльный пузырь перед разрывом

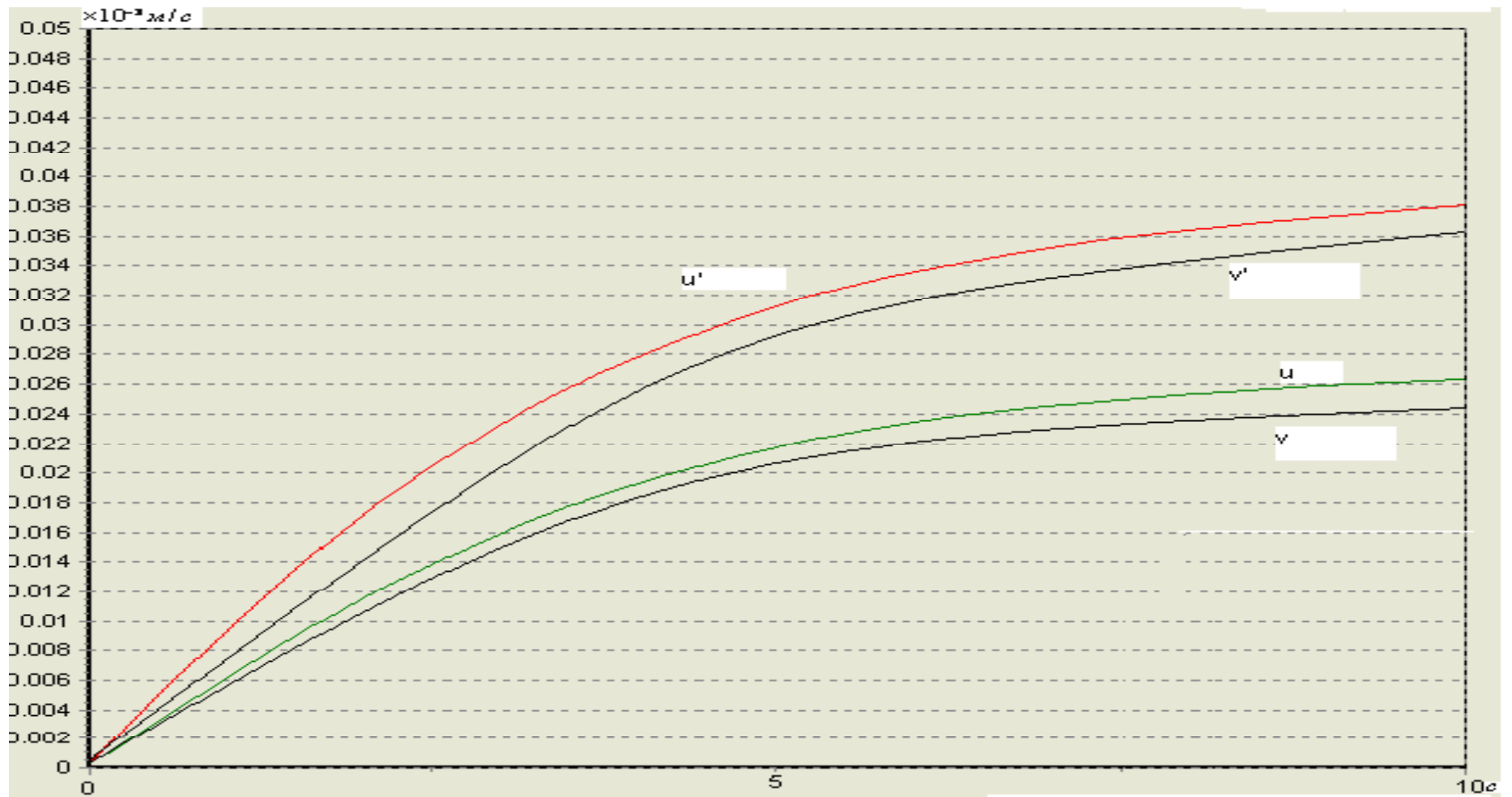


Рис. 6 U- Скорость движения вещества в точке А без закрутки с силой поверхностного натяжения из теории гравитационных волн на мелкой воде, U'- Скорость движения вещества в точке А после закрутки с некоторой скоростью Сила поверхностного натяжения из теории гравитационных волн на мелкой воде. V-Скорость движения вещества в точке А без закрутки с классической силой поверхностного натяжения, V'- Скорость движения вещества в точке А после закрутки с некоторой скоростью

$$\begin{aligned}
\frac{\partial \bar{\rho} \bar{\delta}}{\partial t} + \frac{\partial \bar{\rho} \bar{u} \bar{\delta}}{\partial r} &= 0 \\
\frac{\partial \bar{\rho} \bar{u} \bar{\delta}}{\partial t} + \frac{\partial \bar{\rho} \bar{u}^2 \bar{\delta}}{\partial r} &= \frac{\partial}{\partial r} \left(\frac{1}{2} (\bar{\delta} - \delta(t_0)) (\pm \bar{\rho} g) - p(t_0) \right) + \dots \dots \dots (5) \\
+ \frac{\partial}{\partial r} \left(\rho \delta \mu \frac{\partial \bar{u}}{\partial r} \right) \mp g \bar{\rho} \bar{\delta} \left(\frac{-r}{\sqrt{R^2 - r^2}} \right) \pm \frac{\gamma \delta \rho}{2(R + \delta)} \\
\frac{\partial \bar{\rho} \bar{h} \bar{\delta}}{\partial t} + \frac{\partial \bar{\rho} \bar{u} \bar{h} \bar{\delta}}{\partial r} &= Q_h + \frac{\partial}{\partial r} \left(\frac{1}{2} (\bar{\delta} - \delta(t_0)) (\pm \bar{\rho} g) - p(t_0) \right) + \\
+ \frac{\partial}{\partial r} \left(\rho \delta \mu \frac{\partial \bar{u}}{\partial r} \right) \mp g \bar{\rho} \bar{\delta} \left(\frac{-r}{\sqrt{R^2 - r^2}} \right) \pm \frac{\gamma \delta \rho}{2(R + \delta)}
\end{aligned}$$

Где $h = Tc_p$ - энтальпия вещества.

Q_h - тепловой источник.



Рис.7 U_1 - скорость без нагревания в некоторой точке. U_2 - скорость в той же точке с нагреванием.

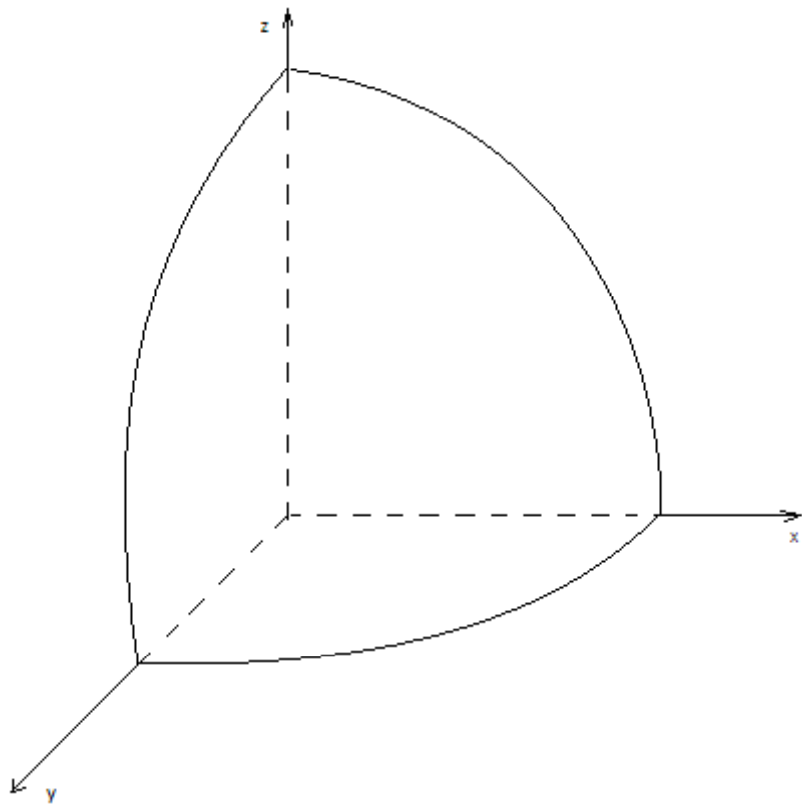


Рис.8 Расчетная область.

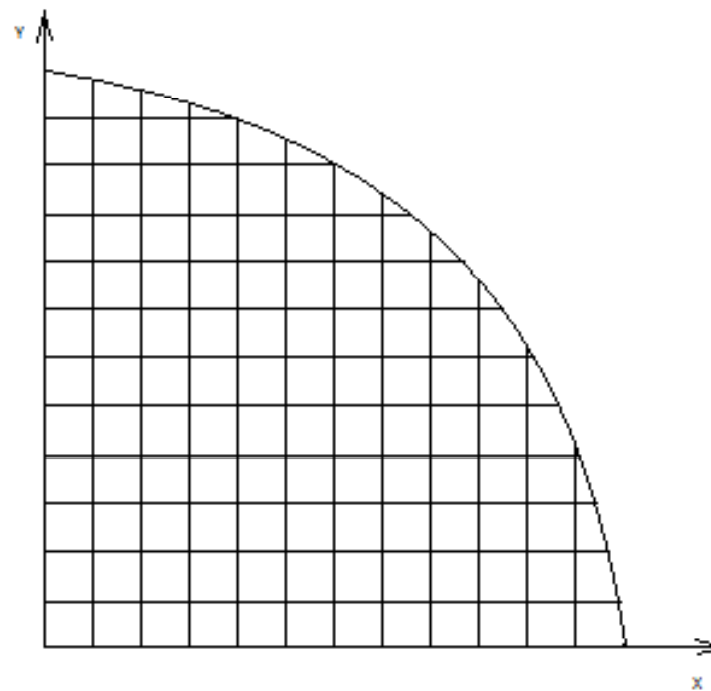


Рис.9. Расчетная сетка.

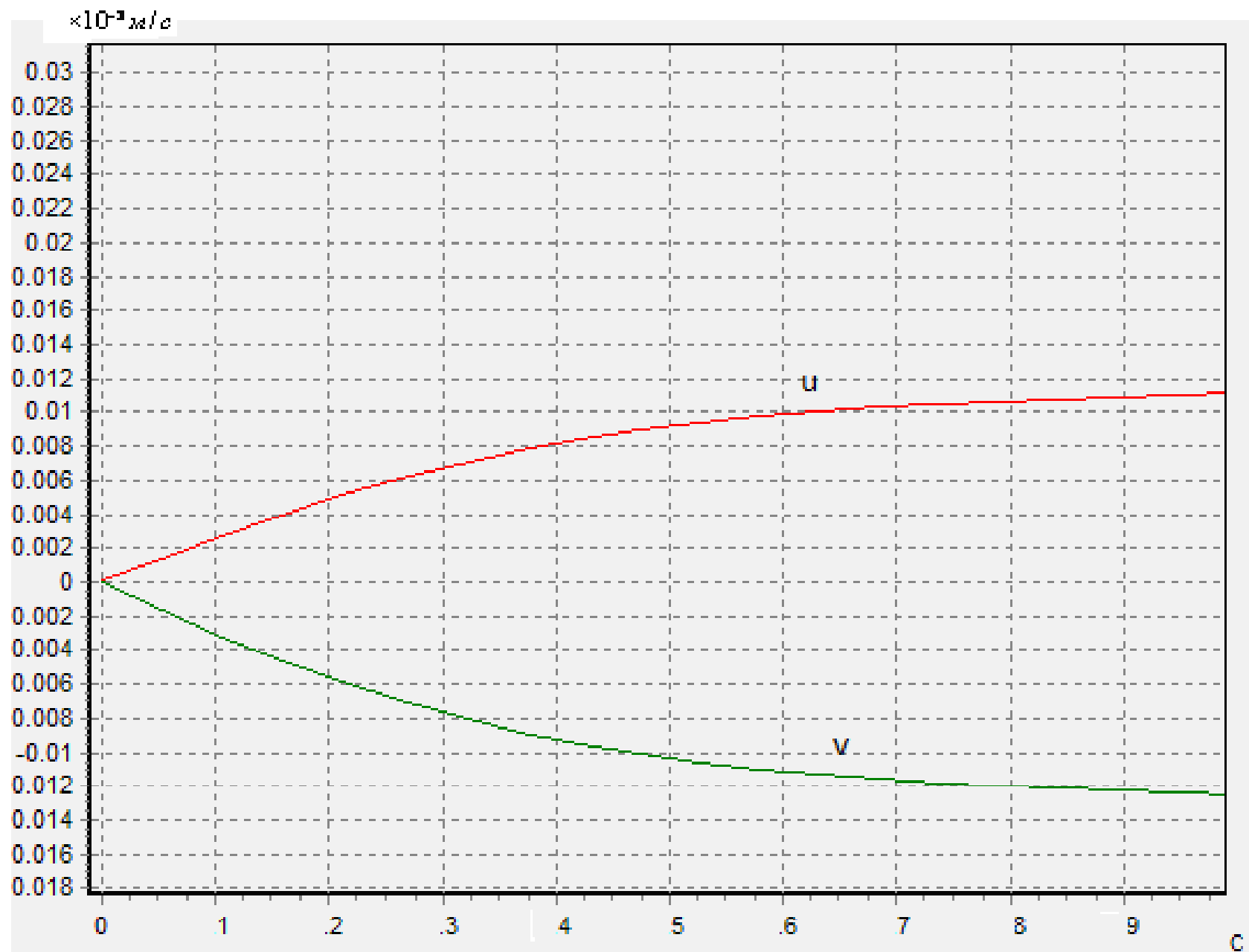


Рис.10. Изменение скоростей u и v в некоторой точке (x,y) .

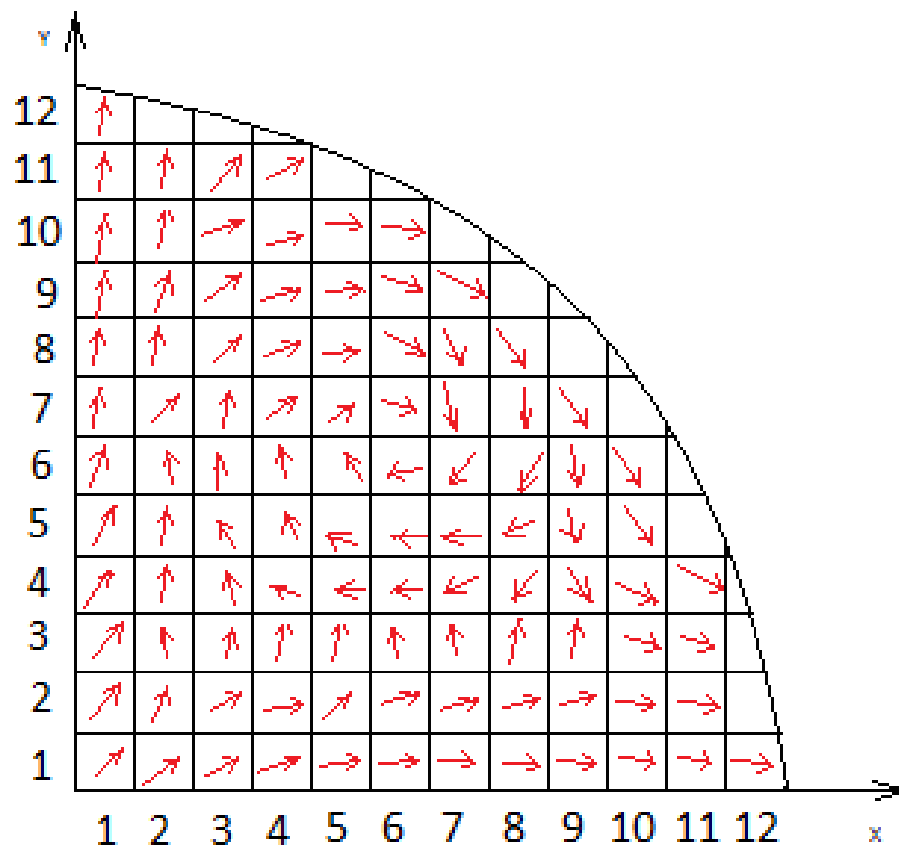


Рис. 11. Поле скоростей для верхней части сферы. $\Delta T = 45^\circ\text{C}$

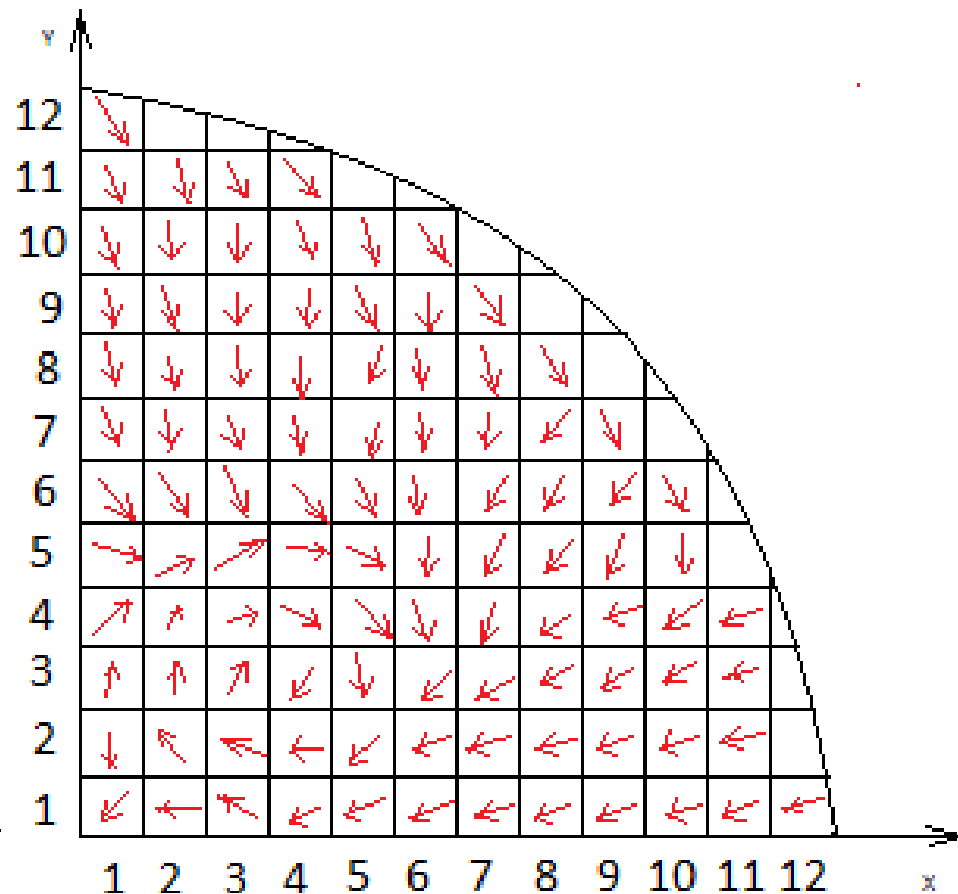


Рис. 12 Поле скоростей для нижней части сферы. $\Delta T = 45^\circ\text{C}$

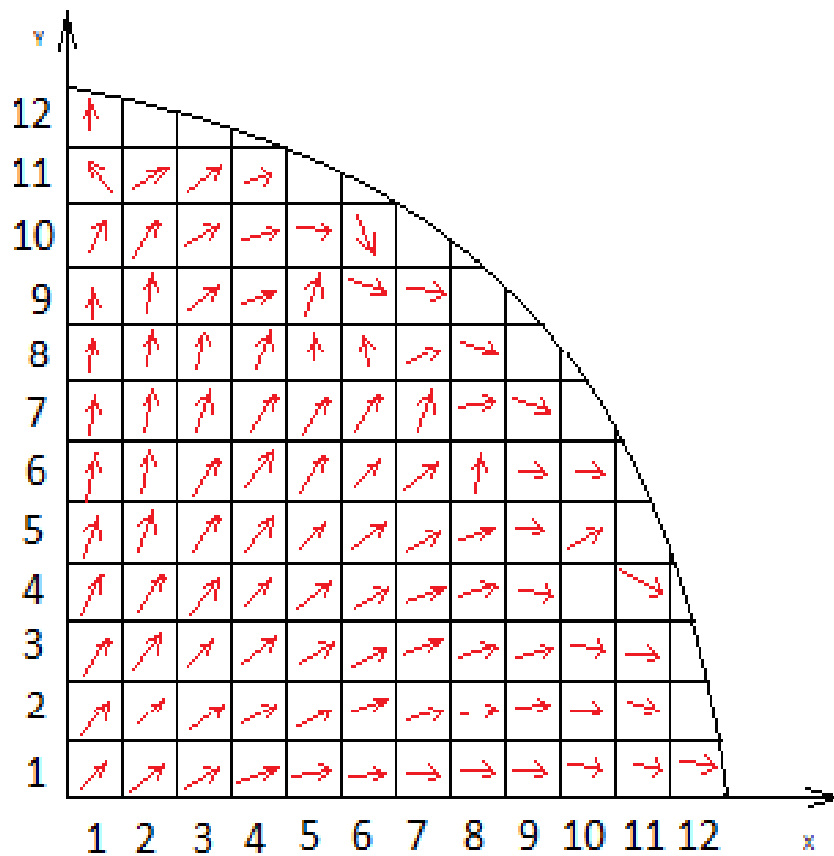


Рис. 13. Поле скоростей для верхней части сферы. $\Delta T = 14^\circ\text{C}$

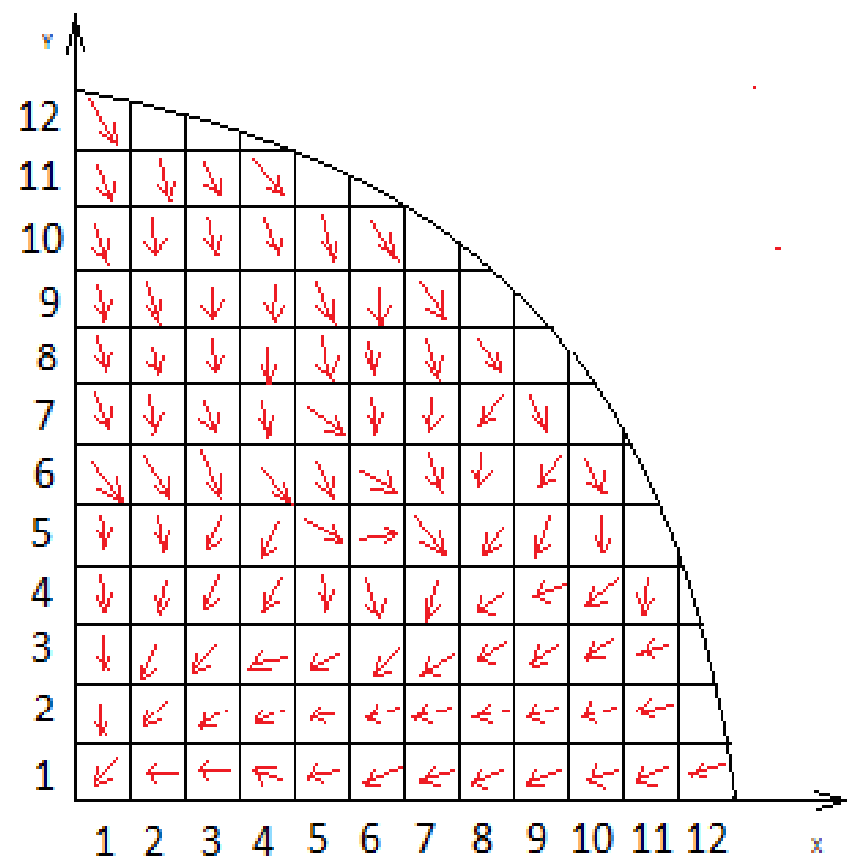


Рис. 14. Поле скоростей для нижней части сферы. $\Delta T = 14^\circ\text{C}$